

دانشگاه خواجه نصیرالدین طوسی

دانشکده مهندسی مکانیک

پایان‌نامه کارشناسی ارشد

گرایش سازه و بدنۀ خودرو

عنوان:

تحلیل ترمولاستیسیته کوپل در استوانه FGM

متقارن

استاد راهنما:

دکتر محمد شرعیات

دانشجو:

سمیرا شیری

۸۷۰۳۰۵۴

زمستان ۱۳۸۹

بِسْمِ اللَّهِ الرَّحْمَنِ الرَّحِيمِ

چکیده

در پایان نامه حاضر، به بررسی میدان‌های دما، جابه‌جایی و تنش که در اثر اعمال بارهای ترمومکانیکی در استوانه‌هایی از جنس مواد FGM و مواد همگن پدید می‌آید، پرداخته شده است. بررسی‌های انجام شده بر اساس معادلات حاکم به دو دسته مسائل کوپل و دی‌کوپل تقسیم بندی شده‌اند. در سیستم معادلات دی-کوپل اغلب بررسی‌ها بر تاثیر تابع خصوصیات ماده و مستقل یا وابسته در نظر گرفتن خصوصیات مواد به دما، بر میدان‌های دما و تنش معطوف شده است. در بخش مرتبط با معادلات کوپل تنش‌های پدید آمده در اثر بارهای ناگهانی حرارتی با توجه به اندرکنش آثار حرارتی و تنشی و توجه به ویژگی‌های موجی انتشار گرما و تنش مورد بررسی قرار گرفته‌اند.

در این پایان نامه ابتدا فرمولاسیون سه تئوری عمدی و معروف ترموالاستیسیتیه هایپربولیک که توجه بسیاری از پژوهشگران را به خود معطوف نموده، در قالب یک فصل با جزئیات کامل استخراج می‌گردد. در گام بعدی با توجه به هندسه مورد بررسی سیستم معادلات دی‌کوپل و کوپل برای مختصات استوانه‌ای استخراج شده‌اند. همچنین علاوه بر معرفی تابع تعریف شده برای خصوصیات مواد FGM، کلیه معادلات برای مواد همگن و FGM ارائه شده‌اند. پس از تعیین سیستم معادلات حاکم به روش‌های عددی به کار رفته در حل این معادلات خواهیم پرداخت. برای حل معادلات دیفرانسیل غیرخطی حاکم، روش اجزا محدود برای محاسبه‌ی مشتقات مکانی، روش گوس-لزاندر برای انتگرال‌گیری عددی مکانی و روش نیومارک برای انتگرال‌گیری عددی زمانی به کاربرده شده‌اند. همچنین در این بخش به نحوه اعمال شرایط مرزی دمایی و تنشی مختلف بر سیستم معادلات حاکم و چگونگی تعریف آن‌ها پرداخته شده است. و در نهایت نتایج به صورت نمودارهای توزیع دما، جابه‌جایی و تنش ارائه شده و ضمن تحلیل نتایج، به توجیه اتفاقاتی که روی نمودارها رخ داده‌اند پرداخته شده است.

فهرست مطالب

<u>عنوان مطالب</u>	
	<u>صفحه</u>
1	1- مقدمه و مروری بر پژوهش‌های انجام شده
2	1-1- مقدمه
5	1-2- پژوهش‌های مرتبط با تئوری‌های ترمومالاستیسیته
7	1-3- پژوهش‌های مرتبط با مواد FGM
9	1-4- پژوهش‌های صورت گرفته برای تحلیل ترمومالاستیک استوانه
18	2- تئوری‌های ترمومالاستیسیته کوپل
19	2-1- مقدمه
19	2-2- تئوری ترمومالاستیسیته کلاسیک (CTE)
21	2-2-1- تقریب خطی
23	2-2-2- معادلات ترمومالاستیسیته کلاسیک برای جسم همسانگرد
23	2-3- تئوری ترمومالاستیسیته با زمان وارهیدگی (L-S)
32	2-4- تئوری ترمومالاستیسیته وابسته به نرخ دما (G-L)
39	2-5- تئوری ترمومالاستیسیته بدون اتلاف انرژی (G-N)
45	2-6- جمع‌بندی
47	3- معادلات حاکم بر رفتار ترمومالاستیک استوانه جدار ضخیم
48	3-1- مقدمه
48	3-2- معادلات حاکم برای ماده FGM
50	3-3- استخراج معادلات حاکم بر ترمومالاستیسیته غیرکوپل
50	3-3-1- معادله انرژی
52	3-3-2- معادله حرکت
54	3-3-3- دستگاه معادلات حاکم
54	3-4- استخراج معادلات حاکم بر ترمومالاستیسیته کوپل
55	3-4-1- معادلات پایه ترمومالاستیسیته کوپل جامع
56	3-4-3- ترمومالاستیسیته کوپل جامع در استوانه FGM
58	3-4-3- ترمومالاستیسیته کوپل جامع در استوانه همگن
60	4- فرم اجزا محدود معادلات حاکم بر رفتار ترمومالاستیک استوانه جدار ضخیم
61	4-1- مقدمه

61	4-2- روش‌های عددی بکاربرده شده
61	4-2-1- روش اجزا محدود
63	4-2-2- روش انتگرال‌گیری عددی زمانی
63	4-2-3- روش محاسبه عددی انتگرال‌های مکانی
64	4-3- الگوریتم حل
64	4-3-1- دستگاه معادلات غیرکوپل
67	4-3-2- دستگاه معادلات کوپل
71	4-4- شرایط مرزی
76	5- ارائه و بحث نتایج عددی
77	5-1- مقدمه
77	5-2- نتایج حاصل از سیستم معادلات غیرکوپل
80	5-2-1- بررسی تاثیر وابستگی یا عدم وابستگی خصوصیات ماده به تغییرات میدان دما
81	5-2-2- بررسی تاثیر توزیع دما بر متغیرهای مسئله
81	5-2-3- بررسی تغییرات خواص مواد در جهت شعاعی
87	5-2-4- بررسی شرط مرزی فشاری غیرصفرا
88	5-3- نتایج حاصل از معادلات ترمولاسیونسته کوپل
89	5-3-1- بررسی انتشار موج دما و تنش در مواد FGM
89	5-3-1-1- بررسی موج دما و تنش ایجاد شده بواسطه بارهای حرارتی بسیار بزرگ
93	5-3-1-2- بررسی موج دما و تنش ایجاد شده بواسطه شوک حرارتی
121	6- نتیجه‌گیری و پیشنهادات
122	6-1- نتیجه‌گیری
124	6-2- ارائه پیشنهادات
125	مراجع

فهرست شکل‌ها

- شکل 1-2 : المانی از جسم با شار حرارتی یک بعدی
شکل 1-3-1 : گرمای ورودی به المان و خروجی از آن
شکل 2-3-2 : تنش‌های واردہ بر وجوه المان
- شکل 1-5 : شرایط مرزی دمایی در سطح داخلی استوانه برای تحقیق وانگ 2004
شکل 2-5-2 : مقایسه تغییرات توزیع دما(خصوصیات مواد مستقل از تغییرات دما)
شکل 2-5-3 : مقایسه تغییرات توزیع دما(خصوصیات مواد وابسته به تغییرات دما)
شکل 2-5-4 : مقایسه تغییرات توزیع تنش محیطی(خصوصیات مواد مستقل از تغییرات دما)
شکل 2-5-5 : مقایسه تغییرات توزیع تنش محیطی(خصوصیات مواد وابسته به تغییرات دما)
شکل 2-5-6 : شماتیک دوبعدی استوانه جدار ضخیم FGM و شرایط مرزی اعمالی
شکل 2-5-7 : مقایسه توزیع دما (تأثیر وابستگی خواص مواد به تغییرات توزیع دما)
شکل 2-5-8 : مقایسه توزیع جابجایی شعاعی (تأثیر وابستگی خواص مواد به تغییرات توزیع دما)
شکل 2-5-9 : مقایسه توزیع تنش شعاعی نقطه میانی استوانه (تأثیر وابستگی خواص مواد به تغییرات توزیع دما)
شکل 2-5-10 : مقایسه توزیع تنش محیطی نقطه میانی استوانه (تأثیر وابستگی خواص مواد به تغییرات توزیع دما)
شکل 2-5-11 : مقایسه توزیع تنش شعاعی نقطه میانی استوانه (بررسی تاثیر بزرگی توزیع دما بر متغیرهای مسئله)
شکل 2-5-12 : مقایسه توزیع تنش محیطی نقطه میانی استوانه (بررسی تاثیر بزرگی توزیع دما بر متغیرهای مسئله)
شکل 2-5-13 : مقایسه توزیع دما (بررسی نوع قرار گرفتن مواد از سمت شعاع داخلی به سمت شعاع خارجی)
شکل 2-5-14 : نمای سه بعدی تغییرات جابجایی شعاعی تمامی نقاط در تمامی زمان‌ها(مسئله پنجم)
شکل 2-5-15 : نمای سه بعدی تغییرات جابجایی شعاعی تمامی نقاط در تمامی زمان‌ها(مسئله ششم)
شکل 2-5-16 : نمای سه بعدی تغییرات جابجایی شعاعی تمامی نقاط در تمامی زمان‌ها(مسئله هفتم)
شکل 2-5-17 : نمای سه بعدی تغییرات جابجایی شعاعی تمامی نقاط در تمامی زمان‌ها(مسئله هشتم)
شکل 2-5-18 : تغییرات توزیع تنش شعاعی(مسئله پنجم)

- شکل 5-19 : تغییرات توزیع تنش شعاعی(مسئله ششم)
103
- شکل 5-20 : تغییرات توزیع تنش شعاعی(مسئله هفتم)
104
- شکل 5-21 : تغییرات توزیع تنش شعاعی(مسئله هشتم)
104
- شکل 5-22 : تغییرات توزیع تنش محیطی(مسئله پنجم)
105
- شکل 5-23 : تغییرات توزیع تنش محیطی(مسئله ششم)
105
- شکل 5-24 : تغییرات توزیع تنش محیطی(مسئله هفتم)
106
- شکل 5-25 : تغییرات توزیع تنش محیطی(مسئله هشتم)
106
- شکل 5-26 : مقایسه تغییرات توزیع دما (بررسی تاثیر توان تابع خصوصیات مواد (g))
107
- شکل 5-27 : مقایسه تغییرات توزیع جابجایی شعاعی (بررسی تاثیر توان تابع خصوصیات مواد (g))
107
- شکل 5-28 : مقایسه تغییرات توزیع تنش شعاعی (بررسی تاثیر توان تابع خصوصیات مواد (g))
108
- شکل 5-29 : مقایسه تغییرات توزیع تنش محیطی (بررسی تاثیر توان تابع خصوصیات مواد (g))
108
- شکل 5-30 : مقایسه تغییرات توزیع جابجایی شعاعی (بررسی شرط مرزی فشاری غیرصرف)
109
- شکل 5-31 : نمای سه بعدی تغییرات جابجایی شعاعی تمامی نقاط در تمامی زمان‌ها(مسئله دهم)
109
- شکل 5-32 : نمای سه بعدی تغییرات جابجایی شعاعی تمامی نقاط در تمامی زمان‌ها(مسئله یازدهم)
110
- شکل 5-33 : مقایسه تغییرات توزیع تنش شعاعی (بررسی شرط مرزی فشاری غیرصرف)
110
- شکل 5-34 : نمای سه بعدی تغییرات تنش شعاعی تمامی نقاط در تمامی زمان‌ها(مسئله دهم)
111
- شکل 5-35 : نمای سه بعدی تغییرات تنش شعاعی تمامی نقاط در تمامی زمان‌ها(مسئله یازدهم)
111
- شکل 5-36 : مقایسه تغییرات توزیع تنش محیطی (بررسی شرط مرزی فشاری غیرصرف)
112
- شکل 5-37 : نمای سه بعدی تغییرات تنش محیطی تمامی نقاط در تمامی زمان‌ها(مسئله دهم)
112
- شکل 5-38 : نمای سه بعدی تغییرات تنش شعاعی تمامی نقاط در تمامی زمان‌ها(مسئله یازدهم)
113
- شکل 5-39 : نحوه اعمال شار حرارتی واردہ بر سطح داخلی استوانه
113
- شکل 5-40 : چگونگی تغییر نسبت حجمی در امتداد ضخامت استوانه برای توان‌های مختلف تابع خواص
114
- شکل 5-41 : توزیع دما در طول ضخامت استوانه (بررسی تاثیر توان تابع خواص مواد)
114

- شکل 5-42 : چگونگی انتشار موج گرما برای $g=1$
115
- شکل 5-43 : توزیع جابجایی شعاعی در طول ضخامت استوانه (بررسی تاثیر توان تابع خواص مواد)
115
- شکل 5-44 : چگونگی انتشار موج جابجایی شعاعی برای $g=1$
116
- شکل 5-45 : چگونگی انتشار موج تنش شعاعی برای $g=1$
116
- شکل 5-46 : چگونگی انتشار موج تنش محیطی برای $g=1$
117
- شکل 5-47 : چگونگی انتشار موج تنش محوری برای $g=1$
117
- شکل 5-48 : نحوه اعمال شوک حرارتی واردہ بر سطح داخلی استوانه
118
- شکل 5-49 : تغییرات دما در طول ضخامت استوانه (بررسی تاثیر توان تابع خواص مواد)
118
- شکل 5-50 : چگونگی انتشار موج گرما برای $g=1$
119
- شکل 5-51 : تغییرات جابجایی شعاعی در طول ضخامت استوانه (بررسی تاثیر توان تابع خواص مواد)
119
- شکل 5-52 : چگونگی انتشار موج جابجایی شعاعی برای $g=5$
120

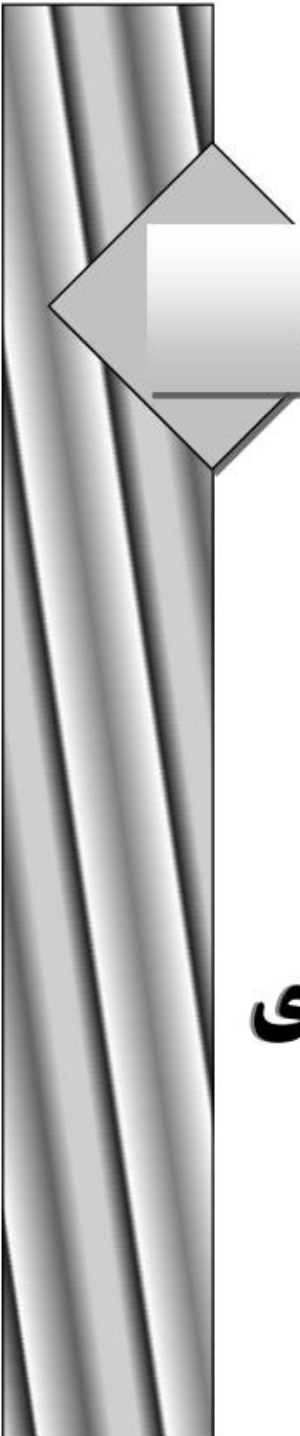
فهرست جداول

- 50 جدول 3-1 : ضرایب تغییرات خواص با دما برای مواد تشکیل دهندهی FGM
- 78 جدول 5-1 : خواص و ضرایب تغییرات خواص با دما برای مواد تشکیل دهندهی FGM در تحقیق
وانگ 2004
- 79 جدول 5-2 : مسائل مختلف بررسی در بخش سیستم معادلات دی کوپل
- 79 جدول 5-3 : خواص و ضرایب تغییرات خواص با دما برای مواد تشکیل دهندهی FGM

فهرست نمادها

بردار نیروی خارجی بر واحد جرم	b
ظرفیت گرمایی ویژه	c
سرعت انتشار موج طولی	$C1$
تانسور الاستیسیته	C_{ijkl}
تانسور نرخ تغییر شکل	\vec{D}
تانسور کرنش Green	e_{ij}
کرنش بینهایت کوچک	E
تابع انرژی آزاد ویژه	f
تابع انرژی آزاد هلمهولتز	F
تانسور گرادیان تغییر شکل	\vec{F}
گرادیان دما	\vec{g}
عدد Biot	h
تابع پله واحد Heaviside	$H(t)$
انرژی ذاتی بر واحد جرم	I
ناوردهای تانسور کرنش	$I_\varepsilon, II_\varepsilon, III_\varepsilon$
ژاکوبین تغییر شکل	J
ضریب هدایت حرارتی	k
تانسور هدایت حرارت	k_{ij}
تابع شکلی المان	N
بردار شار آنتروپی	p
بردار شار حرارتی	q
نرخ تولید حرارت	Q
نرخ انتقال حرارت بر واحد جرم	r
نرخ تولید انرژی بر واحد جرم	R
متغیر لاپلاس در حوزه فرکانسی	s
بردار هدایت الاستیک	s
タンسور دوم تنش Piola-Kirchoff	s_{ij}
آنتروپی بر واحد جرم	S
زمان	t
زمان وارهیدگی برای تئوری G-L	t_1, t_2
دما مطلق	

تانسور تنش	T
دماي مرجع	T_0
بردار جابجايی	u_i
انرژى درونى بر واحد جرم	U
سرعت انتشار گرما	v_T
تانسور سرعت	\vec{W}
مختصات نقاط درون فضای تغييرشكل نيافته	x_i
بردار نيروى حجمى بر واحد حجم	X
ضريب انبساط حرارتى خطى ماده	α
گراديان جابجايی حرارتى	β
ضريب انبساط حجمى	β^*
تانسور ترمولالاستيسيته	β_{ij}
مدول تنش - دما	γ
دلتاي کرونicker	$\delta_{lm}^{ij}, \delta_{lmn}^{ijk}$
انرژى داخلی ويزه	ε
Cauchy تانسور کرنش	ε_{ij}
دانسيته آنتروپى بر واحد جرم	η
جابجايی حرارتى	θ
دماي اوليه	θ_0
ضريب هدايت حرارتى	κ
ثابت لامه	λ
ثابت لامه	μ
نرخ داخلی توليد آنتروپى بر واحد جرم	$\dot{\gamma}$
دانسيته جرمى	ρ
Cauchy تانسور تنش	σ_{ij}
زمان وارهيدگى برای تئوري S	τ
ضريب هدايت حرارتى	χ



فصل اول

مقدمه

و

مروزی بر پژوهش‌های
انجام شده

۱-۱ مقدمه

مسئله پیش‌بینی تنش‌های حرارتی محیط‌های ترمومالاستیک بدلیل اهمیت تبعات احتمالی آن توجه پژوهشگران طبیعت‌الاستیک را در حوزه‌های علوم و مهندسی به خود جلب کرده است. پیشرفت علم و تکنولوژی در صنایعی همچون هوافضا بخصوص در ارتباط با سرعت‌های مافوق صوت اجسام پرنده، تکنولوژی اتمی خصوصاً اطراف راکتورها، تکنولوژی لیزر و گسترش روزافزون حوزه‌های کاربرد آن و موارد دیگر، ضرورت بررسی مسائل ترمومالاستیسیته را توجیه می‌کند. از آنجا که اجزا استوانه‌ای شکل به دلیل قابلیت بالای تحمل فشار، بارهای شعاعی و گرادیان‌های شعاعی متأثر از تغییرات میدان دما کاربردهای بسیار زیادی دارند، مسئله بررسی میدان‌های تنش در آن‌ها از اهمیت قابل توجهی برخوردار می‌باشد. از طرفی لزوم استفاده از موادی که بتوان در آن‌ها توزیع تنش یا توزیع دمای دلخواه را بنابر شرایط حاکم ایجاد نمود سبب گسترش روز افزون کاربرد موادی به نام FGM گشت. این مواد با هدف پاسخگویی به نیازهای بشر به موادی که دارای ویژگی‌های کنترل‌پذیر باشند، در سال‌های اخیر مورد توجه بسیاری از پژوهشگران قرار گرفته است. که در ادامه به بررسی پژوهش‌های انجام شده بر روی تئوری‌های ترمومالاستیسیته، مواد FGM و سازه‌های استوانه‌پرداخته خواهد شد.

مسائل ترمومالاستیسیته را می‌توان به دو دسته کلی مسائل کوپل و غیرکوپل طبقه‌بندی کرد. که در مسائل ترمومالاستیسیته غیرکوپل میدان دما مستقل از میدان جابجایی بوده و می‌توان با حل مستقل آن و محاسبه میدان دما، میدان جابجایی را محاسبه نمود. در رابطه با میدان‌های غیرکوپل کارهای متنوعی انجام شده است. اما در اغلب کارهای انجام شده از وابستگی خصوصیات ترمومکانیکی مواد به دما صرفنظر شده که این فرض در اختلاف دماهای بزرگ سبب بروز خطای قابل توجهی در نتایج حاصل می‌گردد. در کار کنونی سعی شده تا تحلیلی نسبتاً جامع از رفتار دینامیکی استوانه‌های جدارضخیم FGM و همگن تحت بارهای حرارتی و مکانیکی با در نظر گرفتن وابستگی خواص به دما جهت نزدیک‌تر شدن مدل به واقعیت و بهبود دقت نتایج، انجام گیرد. در این بررسی بارگذاری‌های مختلف حرارتی و مکانیکی درنظر گرفته شده و توزیع دما، جابجایی، تنش‌های شعاعی و تنش‌های محیطی دست آمده است. دسته دوم مسائل، مسائل ترمومالاستیسیته

کوپل می‌باشند. که در این مسائل میدان‌های دما و تنش به یکدیگر وابسته بوده و امکان حل مستقل هیچ یک از آن‌ها وجود ندارد. چنین شرایطی زمانی ایجاد می‌گردد که نرخ تغییرات زمانی بار اعمالی بر سیستم با فرکанс طبیعی سیستم قابل قیاس باشد و یا بار اعمالی بر سیستم بسیار بزرگ باشد. برای حل بررسی میدان‌های کوپل دما و جابجایی تئوری‌های مختلفی وجود دارد. اولین تئوری، تئوری ترمومالاستیسیته کلاسیک می‌باشد، که بر پایه تئوری کلاسیک هدایت حرارت بنا نهاده شده است. در این تئوری بدلیل سهمی (پارabolیک) بودن نوع معادله انتقال حرارت، سرعت انتشار سیگنال حرارتی، نامحدود پیش‌بینی می‌شود؛ به عبارت دیگر طبق این تئوری، اگر جسم هادی تحت اعمال یک تحریک گرمایی ناگهانی قرار گیرد، اثرات این تحریک بطور آنی در فواصل بسیار دور از منبع حرارت احساس خواهد شد. این پیش‌بینی از دید فیزیکی غیر واقعی انگاشته می‌شود. در طول نیم‌قرن گذشته تئوریهای غیر کلاسیک ترمومالاستیسیته شکل گرفته‌اند که معادله انتقال حرارت انها از نوع هذلولی (هایپربولیک) می‌باشد. آنها بر خلاف تئوری کلاسیک، انتشار گرما را موجی در نظر می‌گیرند و سرعت محدود برای آن پیش‌بینی می‌کنند. این تئوری‌های غیر کلاسیک تحت عنوان تئوری‌های ترمومالاستیسیته تعمیم‌یافته یا هایپربولیک شناخته می‌شوند.

تحقیقات فراوانی در طول دهه‌های گذشته، به دنبال شکل‌گیری تئوری‌های مدرن در زمینه حل مسائل کوپل صورت گرفته است. حل‌های تحلیلی یک‌بعدی تقریباً برای همه تئوری‌های معروف در دست می‌باشد؛ ولی تعداد حل‌های خصوصی با شرایط مرزی تعریف شده، محدود و مربوط به مسائل حل شده برای مواد FGM می‌باشد. از طرفی اغلب مسائل برای مواد همگن حل شده‌اند. همچنین مسائل حل شده برای مواد FGM بسیار محدود بوده و در اغلب حل‌های موجود برای مواد FGM از روش لایه‌لایه نمودن میدان حل استفاده می‌گردد. در این روش میدان حل به تعدادی زیر لایه تقسیم می‌شود و فرض می‌گردد که در هر لایه خصوصیات ماده ثابت است. پیوستگی لایه‌ها در این روش با وارد نمودن شروط پیوستگی تنش و انتقال حرارت بین لایه‌ها برقرار می‌گردد. اما در حل حاضر میدان حل به شکل پیوسته در نظر گرفته شده و کلیه مشتقات مواد به صورت تحلیلی محاسبه شده‌اند. اشکال این کار ایجاد انتگرال‌هایی است برای محاسبه

ماتریس‌های جرم، سختی و میرایی که حل تحلیلی آن‌ها بسیار مشکل می‌باشد. در این پایان‌نامه این انتگرال‌ها با روش عددی گوس-لزاندر محاسبه شده‌اند.

فرض‌های اساسی صورت گرفته در این پایان‌نامه از این قرار خواهند بود. ویژگی‌های مکانیکی و حرارتی محیط پیوسته بوده و برای ماده FGM تنها با مکان تغییر می‌کند. اثر خوش ناچیز است و رفتار مواد آیزوتropیک و الاستیک‌خطی می‌باشد. طول استوانه مورد بررسی نامحدود و شرایط کرنش صفحه‌ای بر مسائل حاکم است. همچنین بارهای حرارتی و شرایط مرزی بگونه‌ای است که مسئله علاوه بر تقارن هندسی، تقارن حرارتی نیز دارد.

در پایان‌نامه حاضر، در فصل اول به بررسی پژوهش‌های انجام شده در زمینه تئوری‌های کوپل ترمواالاستیسیته هایپربولیک و تحلیل‌های حرارتی و مکانیکی استوانه‌های جدارضخیم تحت بارهای استاتیکی و دینامیکی خواهیم پرداخت.

در فصل دوم فرمولاسیون سه تئوری عمدۀ و معروف ترمواالاستیسیته هایپربولیک که توجه بسیاری از پژوهشگران را به خود معطوف نموده، در قالب یک فصل با جزئیات کامل استخراج می‌گردد. در فصل سوم با توجه به هندسه مورد بررسی سیستم معادلات دی‌کوپل و کوپل برای مختصات استوانه‌ای استخراج شده‌اند. همچنین علاوه بر معرفیتابع تعريف شده برای خصوصیات مواد FGM، کلیه معادلات برای مواد همگن و FGM ارائه شده‌اند.

در فصل چهارم پس از تعیین سیستم معادلات حاکم به روش‌های عددی به کار رفته در حل این معادلات خواهیم پرداخت. برای حل معادلات دیفرانسیل غیرخطی حاکم، روش اجزا محدود برای محاسبه‌ی مشتقات مکانی، روش گوس-لزاندر برای انتگرال‌گیری عددی مکانی و روش نیومارک برای انتگرال‌گیری عددی زمانی به کاربرده شده‌اند. همچنین در این بخش به نحوه اعمال شرایط مرزی دمایی و تنشی مختلف بر سیستم معادلات حاکم و چگونگی تعريف آن‌ها پرداخته شده است.

فصل پنجم نتایج به صورت نمودارهای توزیع دما، جابجایی و تنش ارائه شده و ضمن تحلیل نتایج، به توجیه اتفاقاتی که روی نمودارها رخ داده‌اند پرداخته شده است.

و در فصل ششم نتایج کاربردی بدست آمده از تحلیل‌های انجام شده به اختصار بیان شده و در نهایت پیشنهاداتی که به نظر می‌رسید می‌توانند در آینده انجام گیرند، ارائه شده‌اند.

2-1 پژوهش‌های مرتبط با تئوری‌های ترمومالاستیسیته

تئوری ترمومالاستیسیته ترکیبی از تئوری‌های حرارت و الاستیسیته می‌باشد. این تئوری تأثیر میدان دما بر تغییر شکل جسم الاستیک و همچنین تأثیر متقابل تغییر شکل روی میدان دما را مورد توجه قرار می‌دهد. در طول دوران عمر ترمومالاستیسیته مدرن پژوهش‌های گسترده‌ای، تقریباً در تمام شاخه‌های این علم صورت گرفته است. در این فصل سعی می‌شود ضمن معرفی کارهای مرتبط با این موضوع، اطلاعات جامع و مفیدی از مراجع شناخته شده ارائه گردد.

مبانی تئوری ترمومالاستیسیته کوپل کلاسیک در سال ۱۸۳۷ توسط Duhamel [۱] پایه‌گذاری شد و فرمولاسیون این تئوری با در نظر گرفتن قانون دوم ترمودینامیک در سال ۱۹۵۶ توسط Biot [۲] صورت پذیرفت. با وجود این‌که معادله انرژی در این تئوری ماهیتی پارابولیک داشت اما برای انتشار اختلالات دمایی سرعتی نامحدود قائل می‌شد که از نقطه نظر فیزیکی قابل قبول نبود. اولین بار در سال ۱۸۶۷ مفهوم در نظر گرفتن طبیعت هایپربولیک برای معادله حرارت که سرعتی محدود برای انتشار موج گرما به دنبال داشت توسط Maxwell [۳] پیشنهاد شد و این انتشار موج به نام صدای دوم صوت^۱ معروف گشت.

در سال ۱۹۴۴ اثرات صدای دوم صوت را به صورت عملی در هلیوم مایع مورد بررسی قرار داد و سپس در سال ۱۹۷۴ Tisza [۵] امکان انتشار صدای دوم صوت در داخل هلیوم مایع را به صورت تئوری پیش‌بینی نمود. همچنین در سال ۱۹۶۳ Chester [۶] دلایلی مبنی بر احتمال وجود این پدیده در جامدات ارائه نمود. اغلب تئوری‌هایی که طبیعتی هایپربولیک برای معادله انرژی در نظر می‌گیرند از معادله اصلاح شده انتقال حرارت فوریه منتج می‌گردند. تئوری ترمومالاستیسیته به همراه اثرات صدای دوم صوت که توسط Lord و Shulman [۷] در سال ۱۹۶۷ پیشنهاد داده شد یکی از ساده‌ترین این مدل‌هاست که با

^۱ Second Sound

معرفی مفهومی به نام زمان وارهیدگی^۲ در معادله انتقال حرارت فوریه اصلاح شده بیان شده است. این مدل در سال ۱۹۸۰ توسط Dhaliwal و Sherief [۸] برای مواد ناهمسانگرد بازنویسی شد. در زمینه یکتایی جواب تئوری S-L می‌توان به کارهای Sherief و Dhaliwal [۸، ۹] و Ignaczak [۱۰، ۱۱] اشاره کرد.

Green و Lindsay [۱۲] تئوری ترمولاستیسیته دیگری را که در برگیرنده اثرات صدای دوم صوت بود در سال ۱۹۷۲ فرمولبندی نمودند. در این فرمولاسیون جدید نرخ دما به روابط Duhamel-Neumann افزوده شد و برای رابطه آنتروپی دو زمان وارهیدگی در نظر گرفته شد. Suhubi [۱۳] نیز در سال ۱۹۷۵ بطور مستقل معادلات این تئوری را استخراج کرد. در زمینه یکتایی جواب تئوری L-G می‌توان به کارهای انجام شده توسط Green و Lindsay [۱۴] و Ignaczak [۱۵] اشاره کرد.

Naghdi و Green [۱۶، ۱۷] در کارهای انجام شده خود طی سال‌های ۱۹۹۱ و ۱۹۹۳ سه مدل ترمولاستیسیته برای مواد همگن و همسانگرد ارائه نمودند که به صورت مدل‌های II، I و III طبقه‌بندی شدند. در زمینه یکتایی جواب تئوری N-G می‌توان به کارهای Green و Naghdi [۱۷] اشاره کرد.

Chandrasekharaiah [۱۸] و Chandrasekharaiah [۱۹] اشاره کرد.

تئوری‌های بیان شده در بالا به تئوری‌های ترمولاستیسیته تعمیم یافته یا تئوری‌های ترمولاستیسیته با سرعت موج گرمای محدود نیز معروف می‌باشند. تئوری ترمولاستیسیته کلاسیک در مسائل مهندسی گوناگونی قابل به کارگیری است، اما در شرایطی از قبیل اعمال شار حرارتی ناگهانی و یا شرایطی که در آن-ها طول زمان حالت گذرا کوتاه می‌باشد اثرات صدای دوم صوت از اهمیت قابل توجهی برخوردار می‌باشد. در چنین شرایطی میدان دما که سرعت انتشار محدودی دارد تحت تاثیر میدان الاستیک واقع شده و معادلات ترمولاستیسیته کوپل برای بررسی چنین میدان‌هایی باید به کار گرفته شوند. در ادامه به تعدادی از مقالات علمی که در آنها از تئوری‌های ترمولاستیسیته کوپل استفاده شده است اشاره خواهیم نمود.

^۲ Relaxation Time

۳-۱ پژوهش‌های مرتبط با مواد FGM

مخفف عبارت Functionally Graded Material FGM بوده و به معنای ماده با توزیع خواص هدفمند می‌باشد. بنابراین گفته Gasik [۲۰] ماده‌ای است با تغییرات (گرادیان) طراحی شده‌ی ترکیب، با این هدف که کارایی ماده تولیدی نسبت به مواد تشکیل دهنده آن در شرایط مشابه بهبود یابد. روش‌های تحلیلی و روش‌های اجزای محدود و مدل‌های میکرومکانیکی به وفور برای مدل‌سازی مواد FGM به کار می‌روند [۲۱]. بیشترین موضوعات تحقیق شده در مدل‌سازی عبارتند از: کرنش‌های الاستیک، تنش‌های الاستیک، تسلیم و تغییر شکل پلاستیک، خزش در دماهای بالا و انتشار ترک [۲۲ و ۲۳]. مفهوم اولیه‌ی مواد FGM در سال ۱۹۸۴ توسط Niino و همکارانش [۲۴] در لابراتور ملی هوافضای ژاپن، به عنوان یک روش تهییه‌ی مواد برای سپرهای حرارتی^۳ پیشنهاد شد. در این تحقیقات مواد FGM با موفقیت در پوشش‌های سپر حرارتی که در آن‌ها هدف بهبود مقاومت در برابر حرارت، اکسید شدن و خوردگی بود، به کار گرفته شدند. و با گذشت زمان به کارگیری این مواد در حوزه‌های دیگر نیز مورد بررسی قرار گرفت.

در حوزه‌ی ترموالکتریک، مواد FGM (نظیر BiTe/PbFe) در حسگرها (سنسورها) و ترموزنراتورها با گذار فلز-نیمه‌رسانا به کار گرفته شده‌اند و در مواردی خاص بازده تا میزان ۵۰ تا ۱۰۰ درصد در مقایسه با مواد همگن بهبود یافته است [۲۵، ۲۶]. همچنین این مواد در پیل سوختی اکسید جامد^۴ که سیستمی برای تولید انرژی می‌باشد، به کار گرفته شده‌اند و تا حد زیادی سبب بهبود کارایی این قبیل پیل‌ها شده‌اند [۲۷]. مواد FGM می‌توانند در تکنیک‌های ارتباطات و اطلاعات نیز کاربرد داشته باشند. یک FGM کاملاً جدید، به نام فراکتال فوتونی، متشكل از اپکسی به همراه ذره‌های پراکنده‌ی یک سرامیک پایه تیتانیومی، توسط Miyamoto و همکارانش ساخته شد [۲۸، ۲۹]. این ماده می‌تواند امواج الکترومغناطیسی را به شدت در یک

³ Thermal Barrier Coatings (TBC)

⁴ Solid Oxide Fuel Cell

مکعب فراکتال دیالکتریک بدون بازتابش یا عبور مرکز کند. نگرش آینده‌ی این مولفین، استفاده از این تکنولوژی برای بهدست آوردن یک جاذب الکترومغناطیسی کامل و آنتنی با کارایی بالا بود.

ابزارهای ساینده برای برش فلز و سنگ مثال مهم دیگری هستند که در آن تغییرات در لایه‌ی سطحی کارایی را تا حد قابل قبولی بهبود بخشیده است. علاقه‌ی عمده‌ی صنعت به ابزارهای برشی فلز سخت FGM – (WC – Co) بر مبنای سرعت‌های برش بالاتر، تولرانس‌های بهتر و عمر بیشتر ابزار است. تولید مواد جهت جلوگیری از اعوجاج نمونه، به شناخت و کنترل دقیق فرایندهای سینترینگ نیاز دارد و نشان داده شده است که مدل‌سازی جدید و بهینه‌سازی سینترینگ می‌تواند منجر به تنش‌های کمتر و اعوجاج کمتر پس از انجام فرایند شود. Gasik و همکارانش [۳۰] از طریق انتخاب مناسب هندسه‌ی اجزا و پارامترهای آغازین موفق شدند که به چنین بهبودی دست یابند.

پیشرفت مهم دیگری که در زمینه‌ی مواد FGM می‌توان به آن اشاره نمود، استفاده از این مواد در زمینه قطعات زیست-پزشکی می‌باشد [۳۱]. آلیاژهای پایه تیتانیومی، Al₂O₃ و YTZP به وفور برای پروتزهای (اندام‌های مصنوعی) ارتوپدی، به خصوص پروتزهای مفصل ران به کار می‌روند. همچنین در دندان‌پزشکی به منظور ترمیم دندان‌ها، مواد چسبدار رزینی دندانی جدیدی ایجاد شده‌اند [۳۲].

مشاهدات در رابطه با مواد FGM نشان می‌دهد که با ایجاد تغییرات (گرادیان) ریز یا درشت ساختاری در ترکیب مواد نه تنها می‌توان تاثیرات نامطلوبی نظیر تمکرزنش را برطرف نمود بلکه می‌توان کارکرد مثبت منحصر به فردی را نیز فراهم نمود. علی‌رغم نتایج مهم بهدست آمده، در عمل این مواد به طور مناسبی به کار گرفته نمی‌شوند. کمبود پایه‌های تئوریک، روش‌های طراحی مواد و شناخت از چگونگی عملکرد مواد FGM، به طور قابل ملاحظه‌ای مانع از به کارگیری این مواد در سطح تجاری شده است. به همین دلیل چشم‌انداز آینده بر مبنای کار و آزمایش تجربی بیشتر مستقر شده است.

4- پژوهش‌های صورت گرفته برای تحلیل ترمومالاستیک استوانه

در این بخش به بررسی کارهای انجام شده در زمینه‌ی تحلیل حرارتی و مکانیکی کوپل و دی‌کوپل استوانه‌های جدارضخیم همگن و FGM پرداخته خواهد شد.

Noda و Takeuti [۳۲] در سال ۱۹۷۸ تنش حرارتی گذرا در یک سیلندر با طول نامحدود را با استفاده از توابع Boussinesq-Papkovich مورد بررسی قرار دادند. در این آنالیز سطح استوانه‌ای سیلندر در دوجهت طولی و پیرامونی تحت اثر یک منبع حرارتی غیر یکنواخت قرار داده شد و نتایج عددی متعددی برای انواع متفاوت منابع حرارتی ارائه گشت.

Misra و Achari [۳۴] در سال ۱۹۸۰ تنش‌های حرارتی در یک سیلندر توحالی غیر همسانگرد که دارای طول محدودی بود، را بررسی نمودند. تنش در این سیلندر در اثر تغییرات دمای متقارن محوری که بر دو انتهای آن وارد می‌شد ایجاد می‌گشت. همچنین سطوح منحنی داخلی و خارجی این سیلندر توسط عایق‌های حرارتی پوشانده شده بود. حل دقیق این مسئله با استفاده از توابع پتانسیل جابه جایی توسعه داده شد و معلوم گشت که بیشترین تنش تحت چنین شرایطی در سطح منحنی داخلی و در دو انتهای سیلندر ایجاد می‌گردد.

Noda و Takeuti [۳۵] در سال ۱۹۸۰ تنشهای حرارتی گذرای سه بعدی در یک سیلندر مدور با طول محدود را تحت اثر یک توزیع دمایی نامتقارن محوری مورد بررسی قرار دادند. این مسئله با استفاده از توابع Boussinesq اصلاح شده و تابع پتانسیل جابه جایی ترمومالاستیک فرمولبندی شد و توسعه حل انجام شده را به شرایط مختلف نامتقارن محوری که بر مرازهای سیلندر وارد می‌شد امکان‌پذیر نمود.

Li و همکارانش [۳۶] و در سال ۱۹۸۳ یک حل عددی برای مسئله ترمومالاستیسیته دینامیکی کوپل در استوانه توحالی بلند ارائه کردند. آنها از یک روش اجزاء محدود استفاده کردند که متغیرهای فضایی و زمانی در آن با چندین روش مشبندی شدند و درنهایت روشی مناسب برای المان‌بندی فضایی و زمانی ارائه نمودند. در این بررسی شرایط مرزی داخلی و خارجی استوانه از نوع توزیع دما و تنش سطحی و به صورت توابع پله و پالس اعمال شدند.